

AP1000 を用いた下三角疎行列の直接解法

5 F - 4

川北 淳平, 野寺 隆
慶應義塾大学 理工学部

1 はじめに

下三角疎行列 L を係数とする方程式 $Lx = b$ を, 複数の右辺 b について解く必要がある場合に, L の逆行列を利用する並列解法が知られている (Alvarado et al. [1], 川北 [5] 参照).

この解法では, 下三角疎行列 L を次のように分解する.

$$L = L_1 L_2 \cdots L_n \quad (1)$$

ただし

$$\begin{aligned} (L_k)_{ik} &= L_{ik} & \text{for } k \leq i \leq n \\ (L_k)_{jj} &\equiv 1 & \text{for } j \neq k \\ (L_k)_{ij} &\equiv 0 & \text{otherwise} \end{aligned}$$

である.

ここで L_k をいくつかのグループに分けて, 行列 L を次のように表すことができる.

$$L = \prod_{k=1}^m P_k \quad (2)$$

このとき, 各 P_k の逆行列 P_k^{-1} を計算しておけば, 複数の右辺 b について,

$$x = L^{-1}b = \prod_{k=m}^1 P_k^{-1}b \quad (3)$$

と解くことができる.

L の逆行列 L^{-1} は, 一般に下三角疎行列 L よりも非ゼロ要素が多くなってしまいが, 各 P_k に対し, その逆行列 P_k^{-1} が新たな非ゼロ要素を生成しないようなグループ分けを考えることにより, 行列 L の疎という性質を生かすことができる.

また, L^{-1} をこのように分解することにより, 並列計算機においては, $P_k^{-1}x$ の計算に必要なすべての乗算を同時に行なうことができるので, 並列計算機において高速に処理することができる.

この解法では, グラフの概念をとり入れた前処理により, 行列 L の分解 (2) を決定するが, 複数の右辺 b を想定しているため, 分解アルゴリズムよりも, 式 (3) の計算を高速に行なうことが重要となる.

実際の式 (3) の計算では, 行列 P_k^{-1} の各非ゼロ要素にたいして 1 回ずつ乗算をおこなうので, 並列計算機のセルの個数が, 各 P_k^{-1} の非ゼロ要素数を上回っていれば, 全非ゼロ要素を別々のセルに配置して, $P_k^{-1}b$ の乗算をワンステップですますことができる. この場合, 式 (3) の全対の計算量は, グループ数 m に依存する.

したがって, セル数などの制約がなければ, グループ数を減らすことが有効である.

2 分解アルゴリズム

下三角行列は, DAG (Directed Acyclic Graph) によってあらわすことができる. 下三角行列 L の有向グラフを $G(L)$ とすると, $G(L)$ の頂点 V , 有向辺 E は,

$$\begin{aligned} V &= \{1, 2, \dots, n\} \\ E &= E(L) \equiv \{(j, i) \mid L_{ij} \neq 0\} \end{aligned}$$

である. ただし, 有向辺 (j, i) は, 頂点 j から頂点 i へ伸びる矢印である. すべての有向辺 (j, i) について $j < i$ という関係が成り立つ.

この DAG を用いて, 下三角行列 L を分解するアルゴリズムが, RP1 アルゴリズムである ([1]). 図 1 は, RP1 アルゴリズムによって, DAG の頂点をグループ分けしたものである. この頂点のグループ分けに対応して, 下三角行列 L の分解を行なうものである. また, 頂点の番号は, 行列のリオーダーリングに相当する.

ところで, 図 1 の左側の数字は, 頂点のレベルを表しているが, 図 2 に示すように, 下三角行列は, それと対応する DAG における最大レベルと同じ数の行列に分

Parallel Solution of Triangular Systems for Parallel Computer

Junpei Kawakita, Takashi Nodera

Faculty of Science and Technology, Keio University

3-14-1 Hiyoshi kōhoku, Yokohama, Kanagawa, 223 Japan

解することができる。つまり、同じレベルに存在する頂点間には辺が存在しないので、同レベルに属する頂点の集合をひとつのグループとすることができるからである。また最大レベルにおける頂点と、そのひとつ前のレベルに属する頂点をひとつのグループとすることができる。

このように分解すると、分解された下三角行列の数 m は、せいぜい RP1 アルゴリズムと同じで、多くの場合ははるかに大きくなってしまふ。

ところで、本解法は下三角行列 P_k の逆行列を求める必要があるが、このようなレベルによる分解では、 P_m をのぞく P_k ($k = 1, \dots, m-1$) の逆行列は簡単に求めることができるという長所がある。

3 まとめ

AP1000 では、2次元トラス構造をつかって、 $P_k^{-1}b$ を計算する時の加算をグローバル演算することが考えられるが、扱う問題が疎行列であるため、データ配置の方法もいろいろ考えられる。セルの数が、分解された各行列 P_k の非ゼロ要素数よりも少ない場合、どのようにセルの負荷を分散させるかということも、重要な問題であると考えられる。

当日, AP1000 を使った数値実験について詳細に報告する。

参考文献

- [1] Fernando L. Alvarado, Robert Schreiber, Optimal Parallel Solution of Sparse Triangular Systems, SIAM J. SCI. COMPUT. Vol. 14, No.2, pp. 446-460, March 1993
- [2] R. Betancourt, An Efficient Heuristic Ordering Algorithm for Partial Matrix Refactorization, IEEE Trans. Power Systems, 3 (1988), pp. 1181-1187
- [3] Fernando L. Alvarado, David C. Yu, R. Betancourt, Partitioned Sparse A^{-1} Methods, IEEE Trans. Power Systems, 5 (1990), pp. 452-459
- [4] J.J. Du Croz, N.J.Higham, Stability of methods for matrix inversion, IMA J. Numer. Anal., 12 (1992), pp. 1-19
- [5] 川北 淳平, 直接法における下三角疎行列の並列解法について, 情報処理学会研究報告 HPC 51(1994)

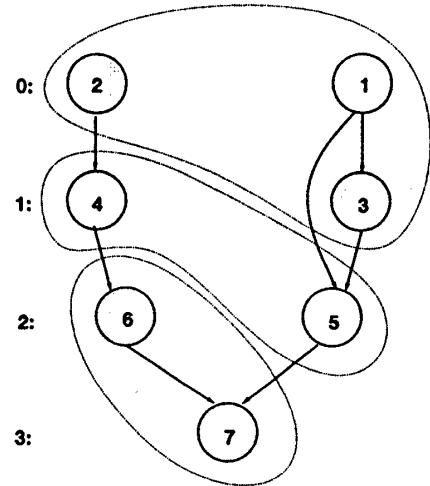


図 1: RP1 アルゴリズム

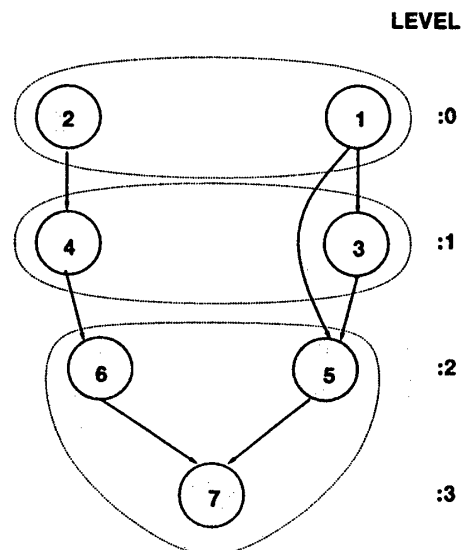


図 2: レベルによる分解